



Universidad Politécnica de Madrid

AMPLIACIÓN DE MATEMÁTICAS I

Informe Hito 4

Autor:
Guillermo García del Río

Índice

1. Introducción	1
2. Enunciado del hito	1
3. Problema a resolver	1
3.1. Oscilador lineal	1
3.2. Esquema numérico Leap-Frog	2
3.3. Regiones de estabilidad absoluta	2
4. Exposición del código	3
4.1. Módulo de osciladores	3
4.2. Esquema numérico Leap Frog	4
4.3. Función para el cálculo de regiones de estabilidad	4
4.4. Archivo principal para el Hito 4	5
5. Resultados	6
5.1. Euler	7
5.2. Crank Nicolson	7
5.3. Runge Kutta de cuarto orden	8
5.4. Euler inverso	9
5.5. Leap Frog	9

Índice de figuras

5.1. Resultados obtenidos para Euler	7
5.2. Resultados obtenidos para Crank Nicolson	8
5.3. Resultados obtenidos para Runge Kutta de cuarto orden	8
5.4. Resultados obtenidos para Euler inverso	9
5.5. Resultados obtenidos para distintos dt	9

1. Introducción

En este informe se presentan y comentan los resultados obtenidos en el hito 4 propuesto en la asignatura de Ampliación de Matemáticas I. En primer lugar se mostrará el enunciado que marca las pautas del proyecto, seguido de un análisis del problema a resolver, la exposición del código y los resultados obtenidos con él. Para terminar se comentarán y compararán dichos resultados.

2. Enunciado del hito

Los objetivos de este hito quedan establecidos por los siguientes puntos:

- 1 Integrar el oscilador lineal $\ddot{x} + x = 0$ con algunas condiciones iniciales. Se deben usar los esquemas numéricos de Euler, Euler inverso, Leap-Frog, Crank-Nicolson y Runge Kutta de orden 4.
- 2 Calcular y representar las regiones de estabilidad absoluta de los métodos anteriormente mencionados.
- 3 Explicar los resultados numéricos basándose en las regiones de estabilidad absoluta.

3. Problema a resolver

3.1. Oscilador lineal

El objetivo de este hito es integrar un oscilador armónico lineal para unas condiciones iniciales dadas. La expresión del oscilador armónico es la siguiente:

$$\ddot{x} + x = 0 \quad (3.1.1)$$

En este caso el vector de estado U quedaría definido por la posición y la velocidad:

$$U = \begin{pmatrix} x \\ \dot{x} \end{pmatrix} \quad (3.1.2)$$

Por lo tanto, este problema se puede formular como un sistema de ecuaciones de primer orden:

$$F(U, t) = \frac{dU}{dt} = \frac{d}{dt} \begin{pmatrix} x \\ \dot{x} \end{pmatrix} = \begin{pmatrix} \dot{x} \\ -x \end{pmatrix} \quad (3.1.3)$$

Por último, se van a aplicar las siguientes condiciones iniciales al problema:

$$U_0 = \begin{pmatrix} 1 \\ 0 \end{pmatrix} \quad (3.1.4)$$

Con todo esto ya se está en disposición de aplicar los esquemas numéricos anteriormente desarrollados para integrar el problema.

3.2. Esquema numérico Leap-Frog

Otro de los objetivos de este hito es implementar el esquema numérico de Leap-Frog o regla del punto medio. Este esquema numérico se emplea para obtener la solución U_2 en un tiempo t_{n+1} desde una solución dada U_1 en t_n .

$$U^{n+1} = U^{n-1} + 2\Delta t F^n \quad (3.2.1)$$

Este esquema se usa para determinar la solución en los puntos internos de cualquier nivel. Además, ya que es un esquema de dos pasos, se necesitará una condición inicial adicional (cómo arranca el sistema). Esta condición inicial suele venir dada por el método de Euler, es decir, el primer paso se integra con Euler y a partir de ahí se utiliza el Leap-Frog.

3.3. Regiones de estabilidad absoluta

Se define la región de estabilidad absoluta como la región del plano complejo donde las soluciones numéricas son asintóticamente estables. El método para encontrar dicha región es determinar el lugar geométrico del contorno de la región, lugar donde alguna de las raíces del polinomio característico de estabilidad $\Pi(r, \omega)$ (cada esquema tiene uno) tienen módulo igual a la unidad. Si se sustituye $r = e^{i\theta}$ se puede obtener $\omega = \omega(\theta)$, es decir, el lugar geométrico del plano complejo donde alguna de las raíces tiene módulo unidad.

De esta forma, el plano complejo queda dividido en dos regiones: una donde el módulo de alguna de las raíces es mayor que la unidad y otra donde el módulo de todas las raíces es menor que la unidad.

Teorema de estabilidad: si los autovalores λ multiplicados por Δt están dentro de la región de estabilidad, entonces el error está acotado.

Donde λ son los autovalores de la matriz B:

$$U^{n+1} = BU^n \quad (3.3.1)$$

Por lo tanto, la estabilidad de un sistema normalmente se puede alcanzar reduciendo el paso de integración Δt . Al aumentar el Δt , el módulo de alguna de las raíces del polinomio característico puede hacerse mayor que uno y en ese momento la solución numérica se vuelve inestable.

Los polinomios característicos de los esquemas numéricos empleados en este hito son los siguientes.

Polinomio característico de Euler:

$$\Pi(r, \omega) = r - 1 - \omega \quad (3.3.2)$$

Polinomio característico de Euler inverso:

$$\Pi(r, \omega) = r - \frac{1}{1 - \omega} \quad (3.3.3)$$

Polinomio característico de Crank Nicolson:

$$\Pi(r, \omega) = r - \frac{1 + \frac{\omega}{2}}{1 - \frac{\omega}{2}} \quad (3.3.4)$$

Polinomio característico de Runge Kutta de cuarto orden:

$$\Pi(r, \omega) = r - 1 - \omega - \frac{\omega^2}{2} - \frac{\omega^3}{6} - \frac{\omega^4}{24} \quad (3.3.5)$$

Polinomio característico del Leap-Frog:

$$\Pi(r, \omega) = r^2 - 1 \quad (3.3.6)$$

4. Exposición del código

De cara a poder entender lo que se está haciendo se va a proceder a exponer el código desarrollado para solucionar el problema propuesto. En este informe tan solo se incluirán los códigos desarrollados para la integración del oscilador, el esquema numérico Leap Frog, el cálculo de las regiones de estabilidad y el archivo principal del Hito 4.

4.1. Módulo de osciladores

En este módulo se irán incluyendo los códigos para diferentes osciladores según se vayan desarrollando, de momento solo cuenta con el oscilador lineal planteado para este problema. La matematica implicada se ha expuesto previamente.

```

1
2 ## OSCILATORS ##
3
4 # Inputs:
5 #     U : state vector at tn
6 #     t : tn
7 #
8 # Return:
9 #
10 #     F(U,t) : Function derivated from the state vector dU/dt = F(U,t)
11
12 def OscillatorX(U,t):
13
14     x = U[0]
15     dxdt = U[1]
16
17     F = array([dxdt, -x])
18

```

```
19 return F
```

Algoritmo 4.1: Oscilador armónico lineal

4.2. Esquema numérico Leap Frog

```
1
2 def leapfrog (U1, U2, dt, t, F):
3
4
5 return U1 + 2*dt*F(U2,t)
```

Algoritmo 4.2: Leap Frog

Como se puede comprobar en el código, es una aplicación representado de la ecuación 3.2.1. Cabe destacar que se tendrá que hacer una modificación el el código de problema de Cauchy en caso de que se use este esquema numérico. Esta corrección es la siguiente:

```
1
2 def Cauchy_Problem(F,t,U0,Esquema):
3
4     n, nv = len(t)-1, len(U0)
5
6     U = zeros((n+1,nv), dtype=float64)
7
8     dt = t[1] - t[0]
9
10    U[0,:] = U0
11
12    if Esquema == leapfrog:
13
14        U[1,:] = U[0,:] + dt*F(U[0,:],t[0])
15
16        for i in range(1,n):
17
18            U1 = U[i-1, :]
19            U2 = U[i, :]
20            U[i+1, :] = Esquema(U1, U2, dt, t[i], F)
21
22    else:
23
24        for i in range(n):
25
26            U[i+1,:] = Esquema(U[i,:], dt, t[i], F)
27
28    return U
```

Algoritmo 4.3: Corrección código Cauchy

Esta corrección se basa en la definición de los vectores de estado $U2$ y $U1$, además de dar el primer paso con Euler.

4.3. Función para el cálculo de regiones de estabilidad

El código implementado para llevar a cabo el cálculo de las regiones de estabilidad absoluta:

```
1
2 def Stability_Region(Scheme):
3
4     N = 100
```

```

5  x, y = linspace(-5, 5, 100), linspace(-5, 5, 100)
6  rho = zeros( (N, N), dtype=float64)
7
8  for i in range(N):
9      for j in range(N):
10
11         w = complex(x[i], y[j])
12         r = Scheme( 1., 1., 0., lambda u, t: w*u )
13         rho[i, j] = abs(r)
14
15     return rho, x, y

```

Algoritmo 4.4: Regiones de estabilidad

4.4. Archivo principal para el Hito 4

De manera similar a hitos anteriores, de cara a automatizar el proceso se ha realizado un bucle en el que se iban recorriendo los distintos esquemas numéricos de los cuales se ha solicitado un análisis. Por otro lado también se ha hecho un bucle para utilizar distintos pasos de tiempo.

```

1  ## HITO 4 ##
2
3  import matplotlib.pyplot as plt
4  from numpy import array, linspace, zeros, size
5
6  from Numeric.Esquemas_numéricos import (RK4, Crank_Nicolson, Euler,
7                                           Euler_inverso, leapfrog)
8  from Physics.Oscilators import OscillatorX
9  from Mathematics.EDOS import Cauchy_Problem
10 from Numeric.Error import Characteristic_Polynomialia
11
12 ## Temporal variables ##
13
14 T = 20                                # Integration duration [s]
15 dt = 0.001                            # Integration step [s]
16 n = int(T/dt)                          # Number of steps
17 t = linspace(0,T,n)                   # Time array
18
19 ## Initial conditions for the oscillator ##
20
21 U0 = array([0,1])
22
23 methods = [Euler,RK4, Crank_Nicolson, Euler_inverso, leapfrog]
24
25 for j in range (size(methods)):
26
27     T = 20                                # Integration duration [s]
28     dt = array([0.1, 0.01, 0.001])        # Integration step [s]
29
30
31     for i in range(size(dt)):
32
33         n = int(T/dt[i])                  # Number of steps
34         t = linspace(0,T,n)               # Time array
35
36         ### FIRST PART: OSCILATOR INTEGRATION ###
37
38         U = Cauchy_Problem(OscillatorX,t,U0,methods[j])
39         print(U[len(t)-1,:])
40
41         plt.title(f'Oscilador integrado con {methods[j].__name__}')
42         plt.xlabel("Tiempo (s)")
43         plt.ylabel("X",rotation = 0)
44         plt.grid()

```



```

45     plt.plot(t,U[:,0], markers[i], label = 'dt =' + str(dt[i]) + ' s')
46     plt.legend(loc = 'lower left')
47
48     plt.savefig('Plots/Hito 4/ osc' + figuras[j] + '.png')
49     plt.close()
50
51     ### SECOND PART: SCHEME'S ABSOLUTE STABILITY REGION ###
52
53     SR, X, Y = Stability_Region(methods[j])
54
55     zer = zeros(100)
56     fig = plt.figure()
57     ax = fig.add_subplot()
58     plt.title(f'Regi3n de estabilidad absoluta del {methods[j].__name__} ')
59     plt.plot(X,zer,'k-')          ## X axis
60     plt.plot(zer,Y,'k-')          ## Y axis
61     plt.grid()
62     plt.contour(X, Y, transpose(SR), levels = [0, 1], colors = ['r'], linewidth = 2
63                )
64     plt.contourf(X, Y, transpose(SR), levels = [0, 1], colors = ['#626262'])
65     ## Stability region
66
67     if methods[j] != Crank_Nicolson:
68         ax.set_aspect('equal', adjustable = 'box')
69
70     plt.xlabel("Re")
71     plt.ylabel("Im",rotation = 0)
72     plt.savefig('Plots/Hito 4/ ASR' + methods[j].__name__ + '.png')
73     plt.show()

```

Algoritmo 4.5: Archivo principal Hito 4

5. Resultados

Con el objetivo de llevar a cabo un buen análisis de los resultados obtenidos, y de forma parecida al hito anterior, se realizarán varias simulaciones variando el valor del paso de integración Δt y para un tiempo de 20 segundos. Se mostrarán los resultados de la integración obtenidos junto con la región de estabilidad absoluta del esquema empleado.

Los valores del paso de integración elegidos para este hito son:

Tabla 5.1: Valores del paso de tiempo empleados

$\Delta t(s)$		
0.1	0.01	0.001

Para un mejor entendimiento del comportamiento de los resultados en función del Δt se necesita conocer la matriz definida por la ecuación 3.1.3. Esta matriz es:

$$A = \begin{pmatrix} 0 & 1 \\ -1 & 0 \end{pmatrix} \quad (5.0.1)$$

La cual tiene los siguientes autovalores:

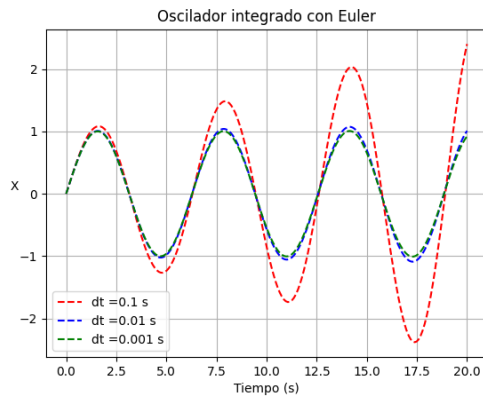
$$\lambda_1 = i \quad (5.0.2)$$

$$\lambda_2 = -i \quad (5.0.3)$$

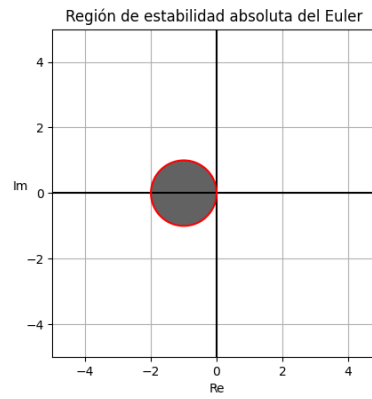
El conocimiento de estos autovalores es relevante ya que la traducción al plano complejo de las soluciones toma los valores de $\lambda_i \Delta t$. En este caso las soluciones estarán siempre comprendidas en el eje imaginario y variarán su posición en él en función del paso de tiempo, acercándose o alejándose así de la región de estabilidad absoluta.

5.1. Euler

Los resultados obtenidos por el esquema numérico de Euler se presentan en la figura 5.1.



(a) Resultados obtenidos para distintos dt



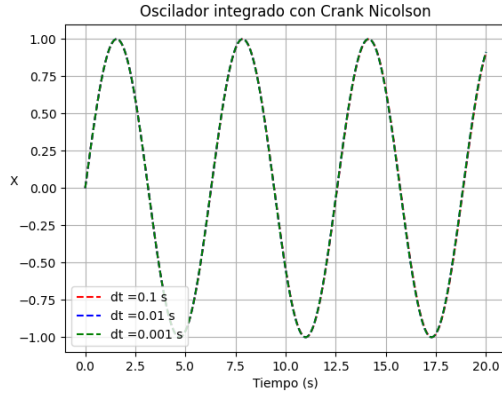
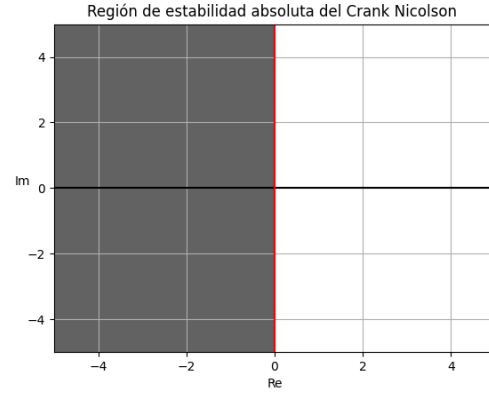
(b) Frontera de la REA del Euler

Figura 5.1: Resultados obtenidos para Euler

Como se puede observar en la figura 5.1, la frontera de la región de estabilidad absoluta del esquema es una circunferencia centrada en el $(-1, 0)$. Teniendo en cuenta lo anteriormente comentado sobre las soluciones en el plano imaginario, se puede comprobar que la estabilidad de las soluciones va mejorando a medida que estas se van acercando a la región, es decir, a medida que se va disminuyendo el Δt .

5.2. Crank Nicolson

Los resultados obtenidos por el esquema numérico de Crank-Nicolson se presentan en la figura 5.2.

(a) Resultados obtenidos para distintos dt 

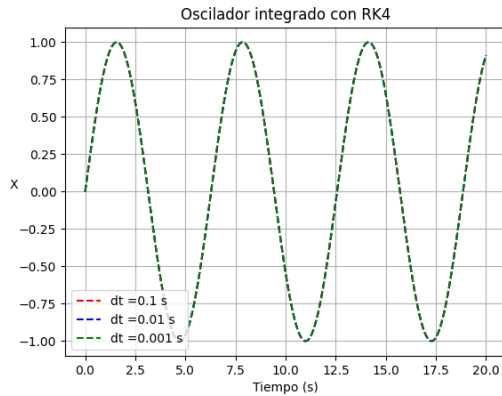
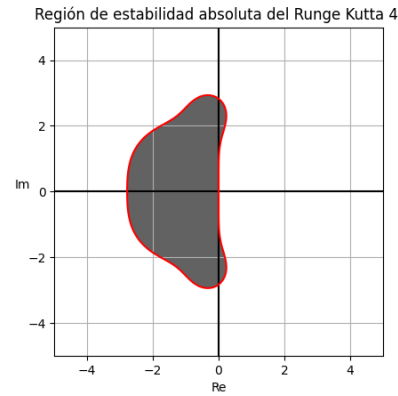
(b) Frontera de la REA del Crank Nicolson

Figura 5.2: Resultados obtenidos para Crank Nicolson

Se puede observar en 5.2 que la variación del Δt no tiene impacto sobre los resultados obtenidos, esto es porque la frontera de la región de estabilidad absoluta del esquema de Crank Nicolson es el eje imaginario. Por lo tanto, cualquier valor de Δt estará en la frontera y por lo tanto la solución obtenida será estable.

5.3. Runge Kutta de cuarto orden

Los resultados obtenidos por el esquema numérico de Runge-Kutta de cuarto orden se presentan en la figura 5.3.

(a) Resultados obtenidos para distintos dt 

(b) Frontera de la REA del RK4

Figura 5.3: Resultados obtenidos para Runge Kutta de cuarto orden

De forma parecida al esquema de Crank Nicolson, el esquema de Runge Kutta de cuarto orden no muestra cambio alguno al variar el Δt , esto es debido a que parte de su frontera comprende al eje imaginario. Sin embargo, a diferencia del anterior, existirá un Δt máximo que se saldrá de la región de estabilidad absoluta.

5.4. Euler inverso

Los resultados obtenidos por el esquema numérico de Euler inverso se presentan en la figura 5.4.

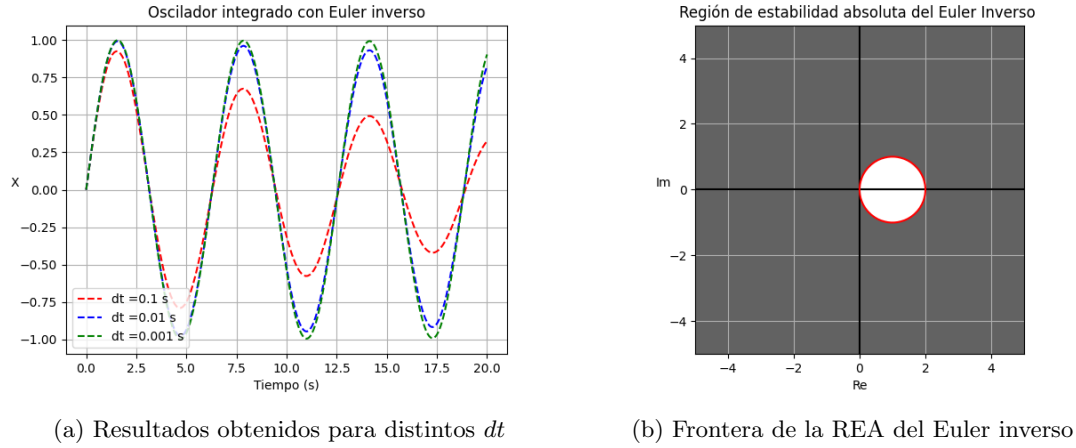


Figura 5.4: Resultados obtenidos para Euler inverso

Se puede observar en la figura 5.4 que la frontera de la región de estabilidad absoluta del esquema es una circunferencia centrada en el $(1, 0)$. Análogamente y debido a que la región de estabilidad es la exterior al círculo, se puede comprobar que a medida que se disminuye el Δt (a medida que las soluciones se acercan a la frontera para salir de la región) la estabilidad de las soluciones va empeorando.

5.5. Leap Frog

Los resultados obtenidos por el esquema numérico de Leap Frog se presentan en la figura 5.5.

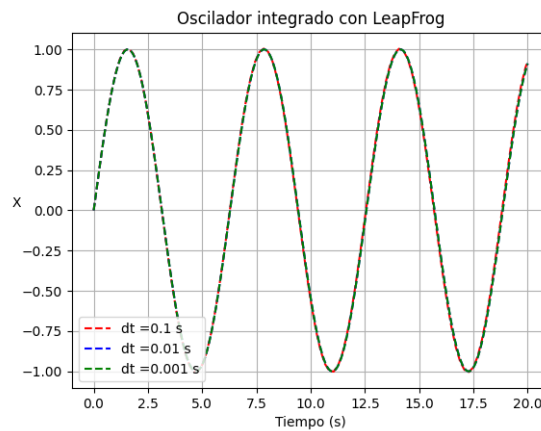


Figura 5.5: Resultados obtenidos para distintos dt

En cuanto a la región de estabilidad absoluta de este esquema, se recuerda cómo es el polinomio característico del mismo:

$$\Pi(r, \omega) = r^2 - 1 \quad (5.5.1)$$

Se puede observar que este polinomio tiene dos raíces distintas y con módulo igual a uno, por lo que se puede decir que el Leap Frog es cero-estable (estable por lo menos con $\Delta t \rightarrow 0$). La cero-estabilidad es una propiedad del esquema numérico y asegura que el sistema en diferencias es insensible a perturbaciones numéricas, es decir, que está bien planteado.